

2次元 Poiseuille 乱流の Orr-Sommerfeld

固有函数を用ひる解析

名大 工学部 後藤 俊幸

桑原 真二

乱流を記述する際に我々は、無限大の自由度から、何らかの方法でその情報の縮約を行ひ、少數の自由度で議論しなければならぬ。

その一方でとして我々は、2次元 Poiseuille 乱流を例にとり、Orr-Sommerfeld (O-S) の固有值、固有函数を用ひて、解析を行なつた。具体的には、2次元の流れ函数を、主流の方向に Fourier 展開し、それに垂直な方向には、O-S の固有函数で展開する。そしてこの展開係数の非線形連立常微分方程式の初期値問題を考察する。

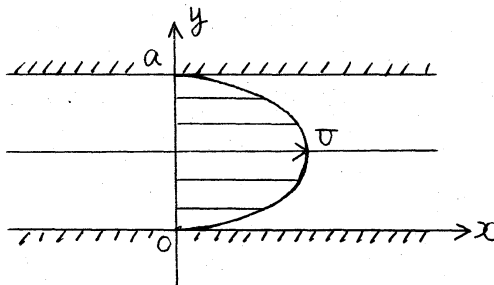
3.2. 数学的定式化

物理的仮定として次の 3 つをおく。

- (i) 平均圧力勾配は一定。
- (ii) 摹乱は 2 次元摳乱である。

(iii) 摹乱は流れ方向に周期的である。

基礎方程式及び境界条件は、無次元化された形で次のように書ける。Reynolds 数 R は、図に示した量を用いて $R = \frac{Ua}{\nu}$ とする。



ψ ; stream function
 w ; vorticity.

$$\frac{\partial w}{\partial t} - \frac{\partial(\psi, w)}{\partial(x, y)} = \frac{1}{R} \nabla^2 w \quad 0 \leq y \leq 1 \quad (1)$$

$$w = -\nabla^2 \psi$$

$$V = (\psi_y, -\psi_x) = 0 \quad y=0, 1$$

まず流れ函数 ψ と渦度 w を次のように主流の $(\bar{\psi}, \bar{w})$ と
模様 $(\tilde{\psi}, \tilde{w})$ に分離する。

$$\psi = \bar{\psi} + \tilde{\psi} = \int_0^y \bar{v}(\eta) d\eta + \tilde{\psi} \quad (2)$$

$$w = \bar{w} + \tilde{w} = -\frac{d\bar{v}}{dy} + \tilde{w} \quad (3)$$

$$\bar{v}(y) \equiv 4y(1-y)$$

これらを基礎方程式 (1) に代入し、模様に対する次の方程式を得る；

$$\frac{\partial \tilde{w}}{\partial t} + \bar{v} \frac{\partial \tilde{w}}{\partial x} + \bar{v}'' \frac{\partial \tilde{\psi}}{\partial x} = \frac{\partial(\tilde{\psi}, \tilde{w})}{\partial(x, y)} + \frac{1}{R} \nabla^2 \tilde{w}$$

$$\tilde{w} = -\nabla^2 \tilde{\psi}$$

$$\bar{v}'' \equiv \frac{d^2 \bar{v}}{dy^2}$$

さてここで攪乱を x 方向に Fourier 展開し、垂直方向に 15 ある完全系で展開できること仮定する；

$$\tilde{\varphi} = \sum_{\ell=-\infty}^{\infty} \sum_{m=1}^{\infty} a_{\ell m}(t) X_{\ell}(x) Y_{\ell m}(y) \quad (5)$$

$$\tilde{\omega} = -\nabla^2 \tilde{\varphi} = -\sum_{\ell=-\infty}^{\infty} \sum_{m=1}^{\infty} a_{\ell m} \omega_{\ell m} \quad (6)$$

$$X_{\ell} \equiv \sqrt{\frac{k}{2\pi}} e^{i k \ell x} \quad kL = \pi$$

$$\omega_{\ell m} \equiv -\nabla^2 Y_{\ell m}.$$

$Y_{\ell m}(y)$ 境界条件は次のようになると

$$Y_{\ell m} = Y_{\ell m'} = 0 \quad \text{at} \quad y = 0, L \quad (7)$$

(5), (6) を (4) に代入して X_{ℓ} と $\omega_{\ell m}$ の直交性；

$$(X_{\ell}, X_p) \equiv \int_{-L}^L X_{\ell}^* X_p dx = \delta_{\ell p} \quad (8)$$

を使えば次のようになります。

$$\begin{aligned} & \sum_{m=1}^{\infty} [-\dot{a}_{\ell m} D_x Y_{\ell m} \\ & - i k a_{\ell m} \{ \ell D_y D_x Y_{\ell m} - \ell D_y'' Y_{\ell m} - \frac{1}{cBR} D_x^2 Y_{\ell m} \}] \\ & = i k \sqrt{\frac{k}{2\pi}} \sum_{p, m, q} a_{\ell-p} a_{p m} \\ & \times [-p Y_{\ell m} D_{-p} Y_{\ell-p} + (\ell-p) Y_{\ell m}' D_{-p} Y_{\ell-p}] \end{aligned}$$

$$D_x \equiv \frac{d^2}{dx^2} - \ell^2 k^2, \quad \bullet \equiv \frac{d}{dx}, \quad \prime \equiv \frac{d}{dy} \quad (9)$$

さて $Y_{\ell m}(y)$ についてはある完全系とだけ述べたが、ここで $Y_{\ell m}(y)$ を Orr-Sommerfeld の固有座数にとる、即ち方程式(9)の下線部を LR のように書く。

$$\ell \bar{D} D \psi_{\ell m} - \ell \bar{D}'' \psi_{\ell m} + \frac{1}{\omega R} D \bar{\psi}_{\ell m} = C_{\ell m} D \psi_{\ell m} \quad (10)$$

$C_{\ell m}$ は複素定数である。特に $\ell = 1$ は、 $C-p'$ 方程式である。

(10) と境界条件 (8) から固有値問題がえられる。この固有値と、固有函数を用いて (9) 式を書きかえると

$$\begin{aligned} & \sum_{m=1}^{\infty} \left[-C_{\ell m} D \psi_{\ell m} - C_{\ell m}^* C_{\ell m} D \psi_{\ell m} \psi_{\ell m} \right] \\ &= C_{\ell}^2 \sqrt{\frac{R}{2\pi}} \sum_{p,m,q} C_{pm} \delta_{p,-q} \\ & \quad \times \left[-P \psi_{\ell m} D \psi_{-p q} \psi_{p q}^* + (\ell - p) \psi_{pm}^* D \psi_{-p q} \psi_{p q} \right] \end{aligned} \quad (11)$$

となる。さて $C-p'$ 方程式は self-adjoint ではないために、普通の直交性をもたず、(11) 式と $\psi_{\ell m}^*$ の内積部を $\psi_{\ell m}$ とかけて区间 $[0, 1]$ の積分して ℓ (星は複素共役を表わす) 左辺の線型部分が対角化されない。そこで、次のようには

$C-p'$ に Adjoint to Operator の固有値問題を考える;

$$\begin{aligned} \ell \bar{D}(\bar{\psi}_{\ell m}) - \ell \bar{D}'' \psi_{\ell m} + \frac{1}{\omega R} D \bar{\psi}_{\ell m} \\ = C_{\ell m} D \psi_{\ell m} \end{aligned} \quad (12)$$

$$\psi_{\ell m} = \psi_{\ell m}^* = 0 \quad \text{at } y=0, 1$$

$\psi_{\ell m}$, $C_{\ell m}$ はそれぞれ、Adjoint な固有函数、固有値である。
(10) と $\psi_{\ell m}^*$ の内積と、(12) と $\psi_{\ell m}$ の内積の差から次式を得る;

$$(C_{\ell n} - C_{\ell m}^*) \int_0^1 \psi_{\ell m}^* D \psi_{\ell m} dy = 0 \quad (13)$$

3. $C - \rho'$ 及び m の Adjoint の固有函数が何らかの意味で適当な順序付けと規格化が可能であると仮定する;

$$\int_0^1 Y^{em*} D_x Y^{em} dy = - \delta_{mn} \quad (14)$$

(14) における $m = n$ のは $C_{en} = C^{em*}$ である。 (11) 及 Y^{em*} の内積を (14) の関係を使えば、最終的に次の非線形一階連立常微分方程式を得る。

$$\dot{A}_{en} + i\hbar C_{en} A_{en} = i \sum_{p,q,s} A_{en}^{pos} \alpha_{e-p,q} \alpha_{p,m} \quad (15)$$

$$A_{en}^{pos} = \frac{\hbar}{2\sqrt{2\pi}} \left[-P(Y^{en}, Y_{pm} D_x - p Y_{e-p,q}) \right. \\ \left. + (e - p)(Y^{en}, Y_{pm} D_x - p Y_{e-p,q}) \right]$$

$$(16) \equiv \int_0^1 f^* f dy.$$

(15) では、左辺の影響が左辺又は右辺の $C - \rho'$ の固有値 C_{en} に入りこみ、右辺は非線形項である。結局この無元次元の方程式を有限次元で打ち切り、計算機による時間発展を用いる事にしたのである。

§ 3. Orr-Sommerfeld の固有値と固有函数

$C - \rho'$ の operator と ϵ_m の Adjoint は operator Σ の ϵ_m の L 書く。 $(C - \rho')$

$$(\epsilon \Sigma - C_{em}) D_x - (\epsilon'' - \frac{1}{\epsilon_m R}) D_x^2 = L_{em} \quad (17)$$

(Add. C-S)

$$(L^2 - L^{em})\Delta \epsilon + 2L^2 \frac{d}{dy} + \frac{1}{C_2 R} \Delta \epsilon^2 = L^{em} \quad (18)$$

従って、この水力学の固有値問題は、

$$\circ \quad L^{em} Y_{em} = 0 \quad Y_{em} = Y_{em}' = 0 \quad y=0, 1 \quad (19)$$

$$\circ \quad L^{em} Y_{em} = 0 \quad Y_{em} = Y_{em}' = 0 \quad y=0, 1 \quad (20)$$

となる。二つの場合とも、この厳密解が知られていて(11)式で、本稿ではグラーキン法での近似解を述べた。C-S & C-L-A-L-C-S' 両方とも同じ方法で(11)式で、C-S' は(11)式で述べた。Y_{em} は $y = \frac{1}{2}$ に関して偶奇を parity を持つ。そこで最初から偶奇に分けて Y_{em} を作る。今、境界条件を満たす一次独立な四次元列を f_{np} の形で $p=0, 1, 2, 3$ とする。

$$f_n(y) = \cos ny - \cos(n+2)\pi y \quad (21)$$

boundary condition

$$f_n(0) = f_n(1) = f'_n(0) = f'_n(1) = 0 \quad \text{OK!}$$

これを用いて Y_{em} は偶奇に分けて(11)式で

$$Y_{em}(y) = \sum_{p=0}^N C_{em}^p f_{np}(y) \quad ; \text{ even} \quad (22)$$

$$Y_{em}(y) = \sum_{p=0}^N E_{em}^p f_{np+1}(y) \quad ; \text{ odd} \quad (23)$$

本稿なら、和が無限大ではないので(11)式で(22), (23)を方程式(19)に代入する。左から f_{2g} , f_{2g+1} を

それをかけて $[0, T]$ で積分すれば次式を得る。

$$\sum_{p=0}^N (f_{\ell q}, L_m f_{\ell p}) C_m^p = 0 \quad (24)$$

$$\sum_{p=0}^N (f_{\ell q+1}, L_m f_{\ell q+1}) E_m^p = 0 \quad (25)$$

実際の計算においては、 $N \leq 20$ までとして計算した。

今まで $\ell \neq 0$ として計算して来たが、 $\ell = 0$ の場合は例外と見ていい。何故なら $\tilde{V} = (X_0 Y_0, -(\frac{1}{R} \ell X_0 Y_0))$ であるから、 $\ell = 0$ の場合この境界条件は常に満たされていい。従ってこの場合にはもとの Navier-Stokes に $\ell = 0$ を代入する。

$$\frac{\partial V}{\partial t} + (V \cdot \operatorname{grad} V) V = -\operatorname{grad} p + \frac{1}{R} \Delta V. \quad (26)$$

$$\operatorname{div} V = 0.$$

$$B.C. \quad V = 0.$$

$$\text{これが } V = V_0 + \tilde{V}, \quad (V_0 = (U_0, 0, 0)), \quad (27)$$

$$P = P_0 + \tilde{P}$$

とし (26) に代入し、線形化を行なう。先に $\ell = 0$ の系とより、 \tilde{V} は常に独立であるから右のみの関数であるといつて用ひれば、固有値と固有函数は次のようになります。

$$Y_{0m}(y) = -\frac{\sqrt{2}}{m\pi} \cos m\pi y \quad (28)$$

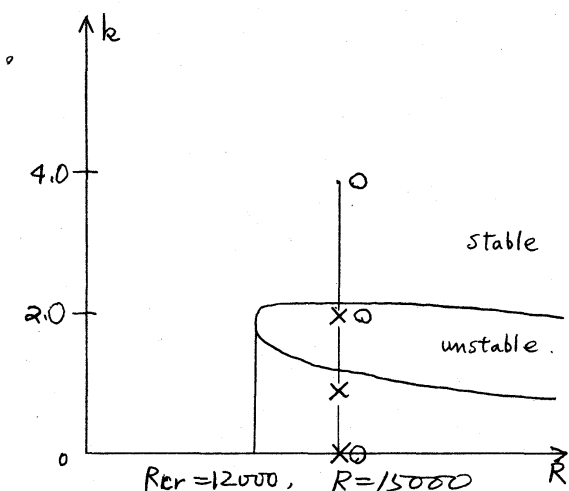
$$W_{0m} = \tilde{P}_0 C_{0m} = -\frac{m^2\pi^2}{R} C \quad (29)$$

規格化は (14) の通りである。線形理論より、 $\ell = 0$ の時 3 mode であることを一致す

る。以上で固有値と固有函数が構成される。これが正しいか、どうかは $(k-R)$ 平面での中立曲線を描いてみて、それが C.C., LIm の結果と一致するか否かでチェックできます。Fig. 1 はその中立曲線が描いてある。ここで $R = C \cdot C \cdot LIm$ の 2 倍である。これは規格化のため $R = 3$ である。彼らの結果を参考のために書かれたりた。計算された R_{cr} は 12000 , $k_{cr} = 2.0$ である。

§4. Mode の選択と数値計算の結果

最終的には、有限次元の方程式 (15) を解くのであるが、これが実数であることに限り、 $a_{em} = a - em^*$ の關係がある。(ℓ に対しては計算する必要がない。) 従って a_{em} は実数であり他のモードに対しては、複素数に対応する。ここで、各モードをどのようにしてヒットしていくかがこの方法の 1 つの鍵である。



我々は計算機の都合上、 ℓ (流れ方向のモード) は 1 から 2 まで、そして m (流れに垂直な方向のモード) は 1 から 1 は 1, 2 と 2 と 3 と 4 とした。左図を参照しながら話をすめよう。

今回は、 $R = 15000$, $\bar{R} = 2$ としたので、結局 $\bar{\mu} = \bar{\lambda}\bar{R} = 0, 2, 4$

としについて 3 つの実をとって (3 ことになる)。(図 OEP)

$\bar{\mu} = 1$ とすれば XEP の 3 実をとてくことになる。いずれの場合にしても、複形理論での不安定なモードが 1 つは入るようになってしまった。さてこのようにとってきた各実には、偶数に対する固有値が 20 位、奇数に対する固有値が 20 位あることになる。だからこの中から m として 2 つにとってこなければならぬのである。それで我々は、偶、奇をそれぞれ 1 つずつにとってくことになった。残るは、偶、奇それぞれ 20 位の中からどの 1 つとめてくかという問題である。そこで、偶、奇をそれぞれの場合について (Fig. 2, Fig. 3) 固有値を複素平面に図示した。Fig. 2 において、 $\bar{\mu} = 0$ の時には虚軸上に並び、あとは $\bar{\mu}$ が大きくなると奇妙な分布のしきたをしてくる。増加率が一定で、位相速度が異なる固有値が一直線に並ぶ部分と、その直線の両側が上下 2 本の分枝を持つ部分に分けられる。この分枝がある原因は今のところ不明である。

Fig. 3 についても同様な事が観察される。

さて、このような分布を有する固有値に対して、どのような選択を行なうか問題であるが、最初、虚数部分の大きいものが順序によってく方法をとった。物理的に言えばその方がより不安定なモードを選択することになり、より乱流を生じ

やはりであると考えたからである。ところが、結合定数を考えると、 $I_m(C_{em})$ が最も大きいものより、やや小さくなつるが、 $Re(C_{em})$ の小さいほうが、位相速度が小さいことにより、振動数が小さくなつて、その結果結合定数が大きくなると考えられる。 $Fig-2$ でいえば、 $k=40$ の分布のうち、右の分枝の一番上にあるものよりも、左の FP で示してある左の分枝の一番上のモードを選択するとこうことになる。

固有値の依存性は最後の $Fig-7$ と $Fig-8$ に示してある。

以上のようなモードを選択して数值計算を行つた。
ただし時間については次のような規格化された時間で計算してある。

$$\tau = \frac{vt}{a} \quad (\tau: \text{物理時間})$$

$Fig-4$ を参照しながら話を進めていこう。 $Fig-4$ は流れ方向のモードとそれに垂直なモード m を象徴的に書いてあり、 ℓ については負のものは reality の条件により省略してある。また、 m については $m=1$ なら奇偶数モードが、 $m=2$ には偶数モードが入っている。そして、左側の列は、 $t=0$ での初期値の入れ方と(①FP)、線形理論での不安定なモード ($I_m(C_{em}) > 0$) が入っているモードと(ΔFP) 示してある。右側の列は、ある時間が経過した時の各モードの大きさを示しており($*FP$ と $\sim 10^{-x}$)、何も FP がついてないのは、左右の各列ともであることを示す。また $\Delta \tau$ は数值計算のステ

ツアウである。

すなはての初期値の大きさは 10^{-6} である。また a_{01} のモードは主流の波形を示す。

(i)の場合；左図のように初期値を入れてみても、結局は右図の三つのモードの2つが生えてくる。そして $t = 5000$ 附近で a_{12} のモード、即ち $\text{Im}(C_{em}) > 0$ をもつモードが発散した。 a_{12}, a_{21} のモードの振動数は、 $\text{Re}(C_{em})$ より計算されたものとほぼ一致する。また a_{01} は負で単調減少し、逆流となる。

(ii)の場合、初期値は a_{12} にしか入れてないが、結局 (i)の場合と同じようになつた。そして $t = 2400$ で a_{12} が発散した。

Fig-5, Fig-6 は時間発展のグラフである。 $t = 2200 \sim 2300$ での様子があり、(i)の場合もこれとほとんど似た様子を示す。またこの場合も $\text{Re}(C_{em})$ より計算された周期とほぼ一致した。

(iii)の場合、今度は $\Delta t = 0.1$ とステップ幅が半分になり、 $\lambda = 1.0$ になつていい。従って $\text{Im}(C_{em}) > 0$ の不安定モードは a_{22} になつていい。前の2つの場合にくらべて、生き残るモードの数が2つと減ってきていい。右図の値は、 $t = 3000$ のときのもので、 a_{22} がさらに大きくなる傾向をもつていい。やはりこの場合も、 $\text{Re}(C_{em})$ より計算された振動周期と

ほぼ一致することがわかった。

(iv) の場合、この場合は、 $R=12000$ で $\bar{\alpha}=1.0$ としたために、中立曲線上の R_{cr} の附近の実をとてえたことになる。これも (iii) の場合と同様に 2 つのモードが生じていい。振動周期も線形理論から計算されるものとはほぼ一致していい。そして、不安定モード (α_{22}) は、中立曲線上にあることを反映して、終止初期値と同じ大きさであった。

§5. 結論

以上の数値計算の結果より、Fig-4 の (i) と (ii) を比較すると、前述のモードのとり方の範囲内では初期値の各モードへの与え方には依存しないことがわかった。

また発散の原因は、数値計算上のものではなく、このモードの選択で作られた、方程式固有の性質であるように思われる。

(i), (ii) と (iii) と (iv) の 2 つのグループに分けて見ると、 $\bar{\alpha}=2.0$ と $\bar{\alpha}=1.0$ では、前者の方が、生じるモードの数が多く、さらに、 α_{21} の大きさをくらべてみると、前者の方が小さくなっている。これは前者の方が、高い波数までとり入れているため、粘性の影響が出てきて、 α_{21} のフィードバックが小さくなっているためであろうと考えられる。

全体的に見て、各モードの初期値を、 10^{-6} という小さな数で始めたために、各モード間のカップリングがあることはいうものの、発散の一歩手前までは、本質的に線形であるままであると結論である。そして非線形性が真に支配的な領域にちかづくとすぐに発散する。このモードの割合では不十分であることを示している。また、この結果において、非線形性を示すような特徴的な時間の大ささの変化が見られたりといふのも、このモードの割合では、非線形の個性を十分に引き出してしまったりし、また、一つの結合定数が担う非線形の個性の小ささとともに見える。いずれにせよ、この方法で発散を述べて、各モードが均等な大きさで大きくなるには、より高い波数をとり入れて、多くのモードを選択する必要があると考えられる。

References.

- (1) Eckhaus, W. 1965. Studies in non-linear stability theory.
New York; Springer.
- (2) Pekeris, C.L. & Shkoller. 1969. J.F.M. vol-39, part3, p611-639.
- (3) George, W.B. & Hellums. 1972. J.F.M. vol-51, part4, p687-704.
- (4) Lin, C.C. The theory of hydrodynamic stability. (1955)
Cambridge Univ. Press.
- (5) 桑原真二. 数理解析研究講究録 275 (1976/7) p99~p120,
- (6) 桑原真二. 数理解析研究講究録 298 (1977/5) p124~p136.

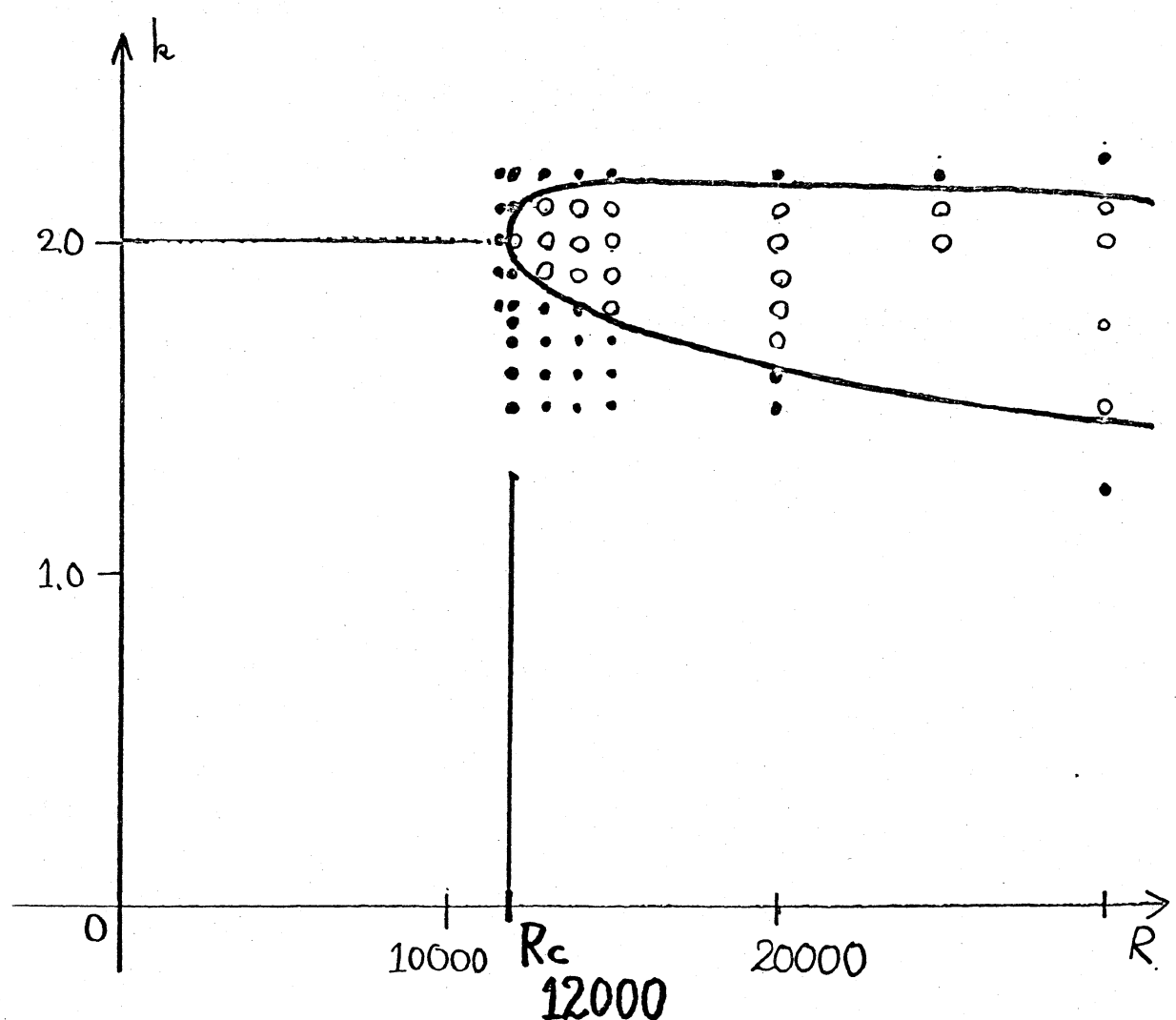
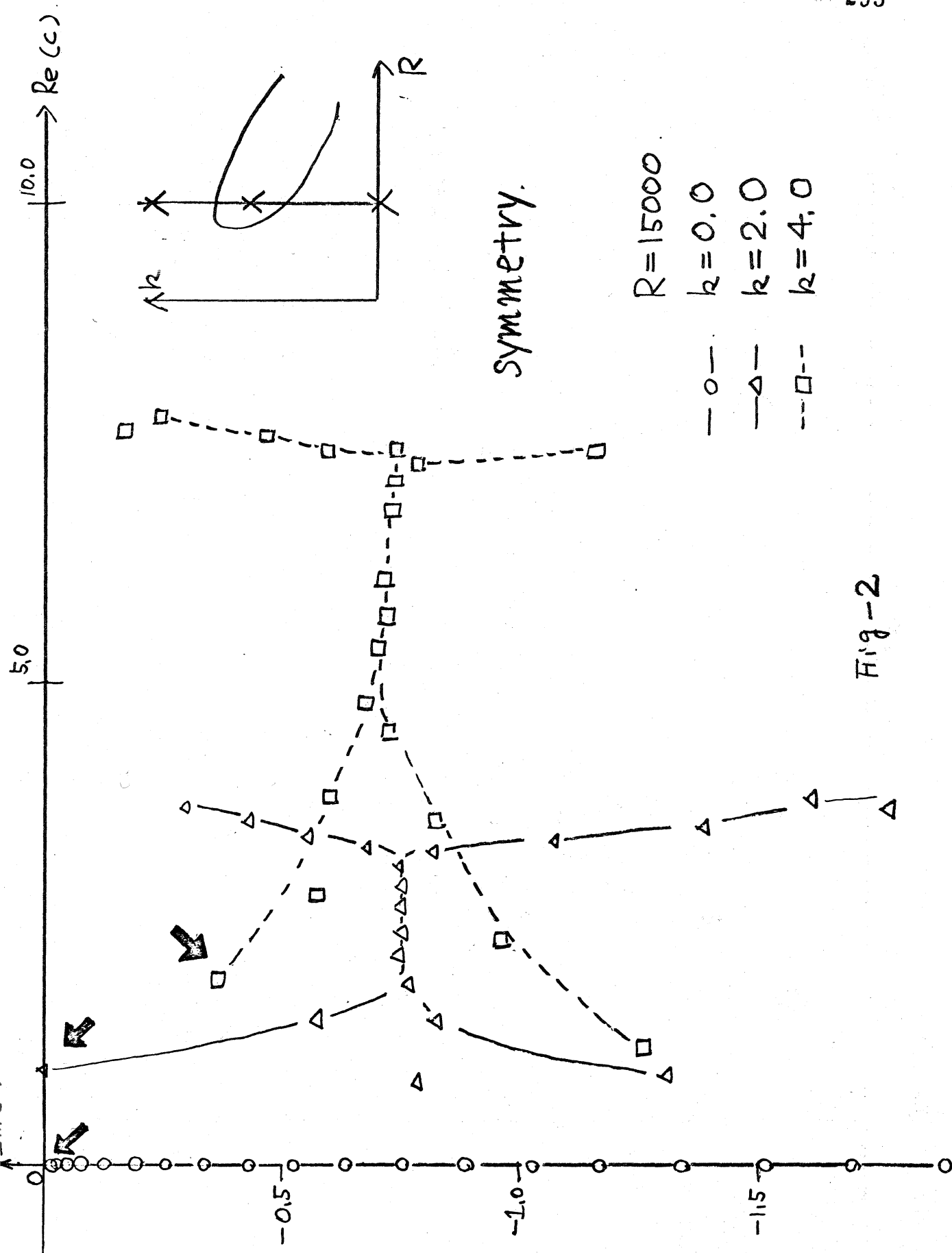


Fig-1

(C.f. $R=11600$. stuart)(1960)
 $k=2.04$



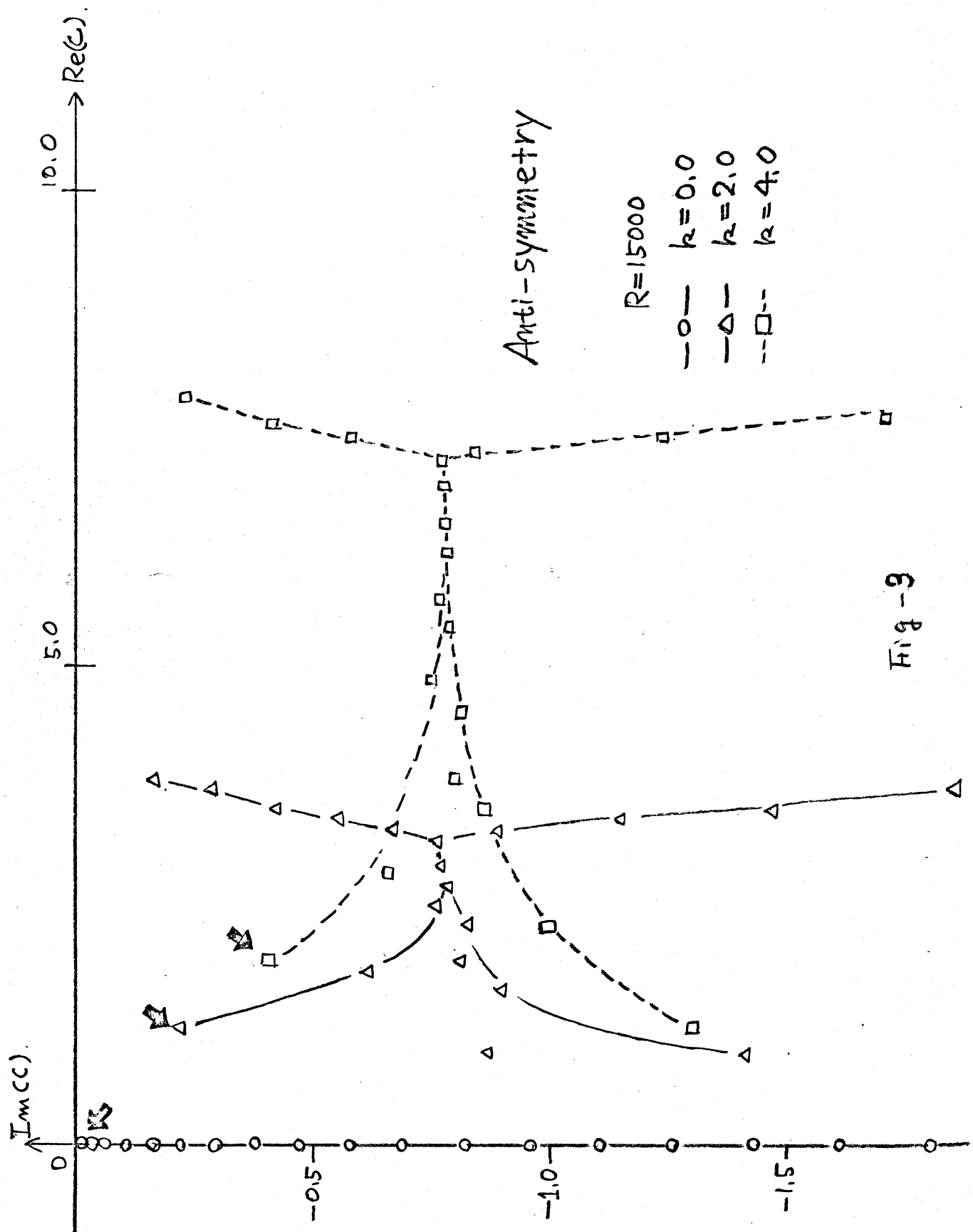
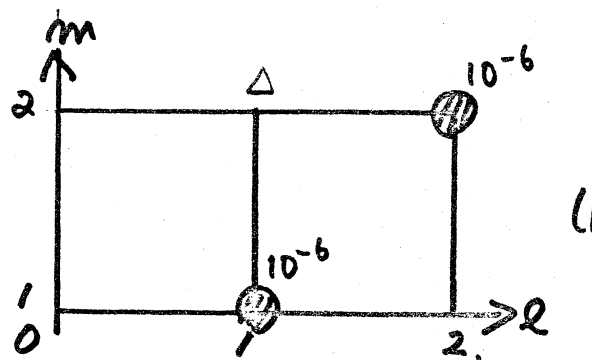
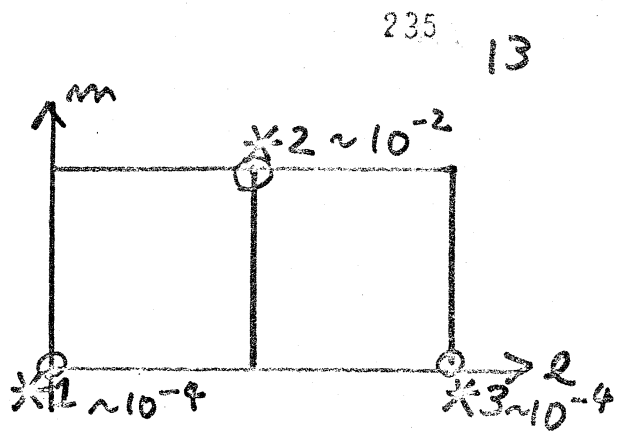


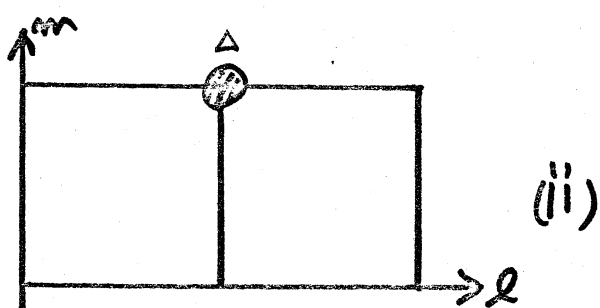
Fig - 9



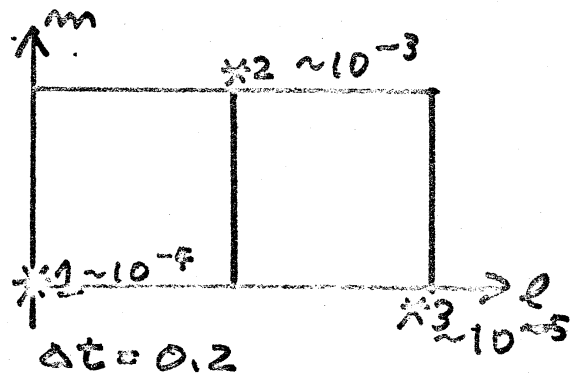
(i)



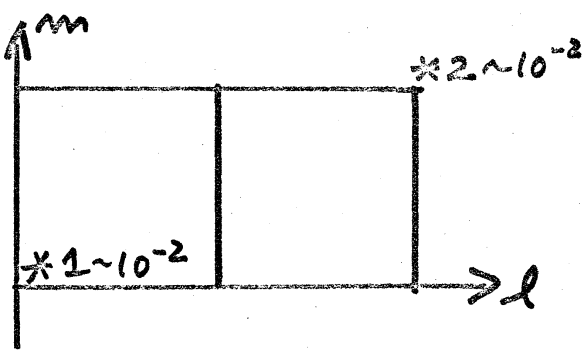
$$R=15000, \hat{k}=2.0, \Delta t=0.2.$$



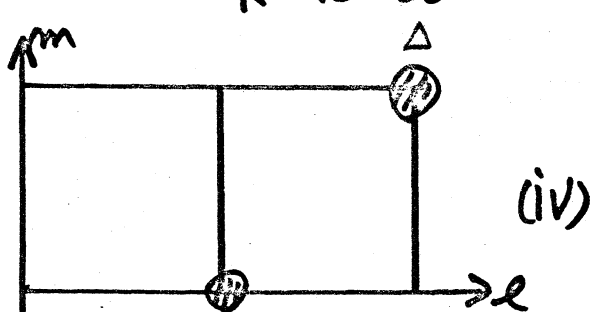
(ii)



$$R=15000, \hat{k}=2.0$$



$$\Delta t=0.1$$



(vi)

$$R=12000, \hat{k}=1.0, \Delta t=0.1.$$

Fig - 4

236

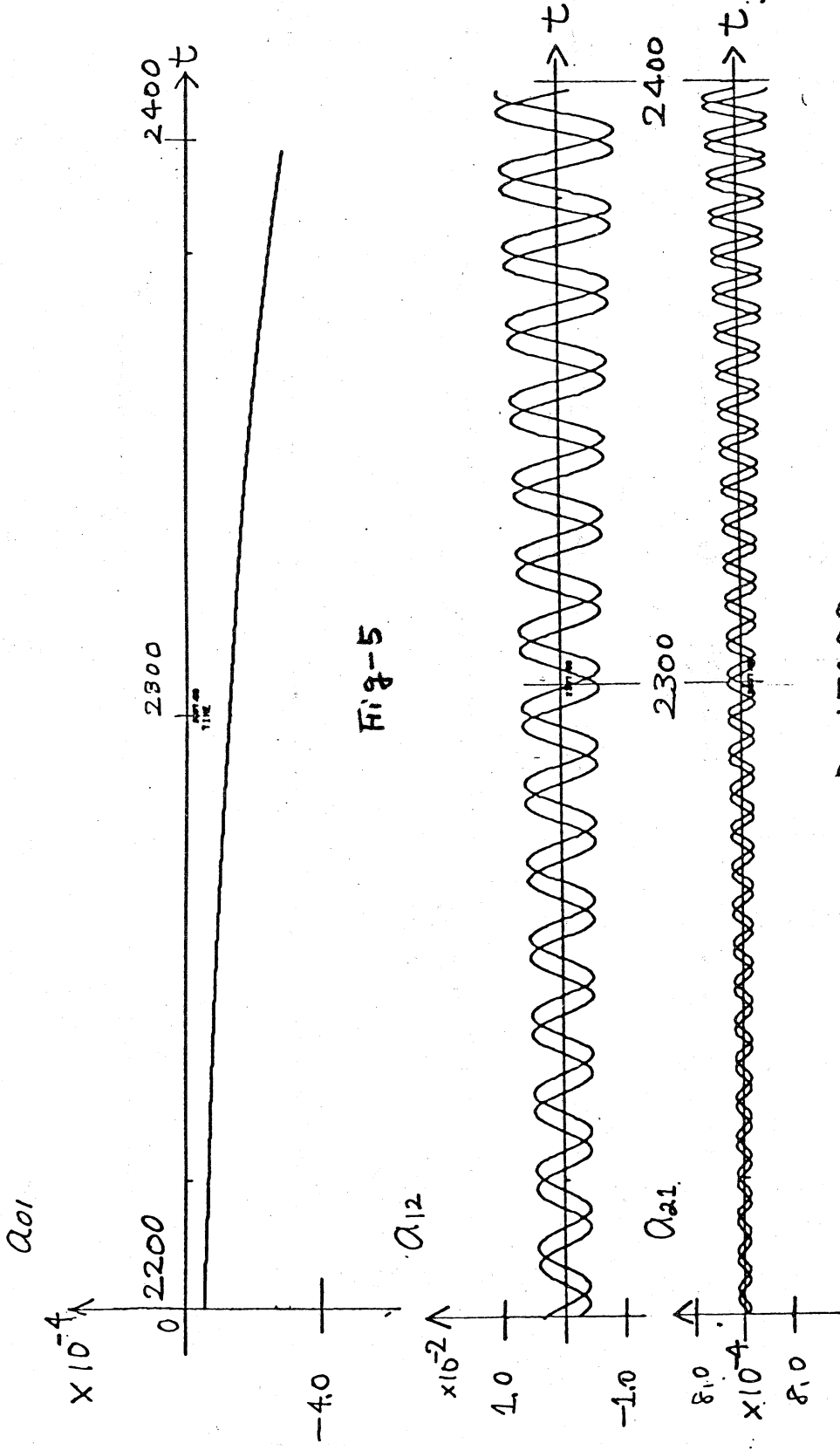
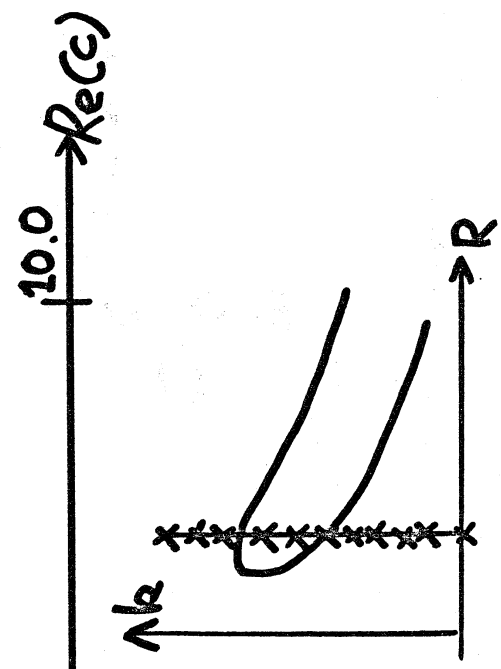


Fig-5

$$R = 15000$$

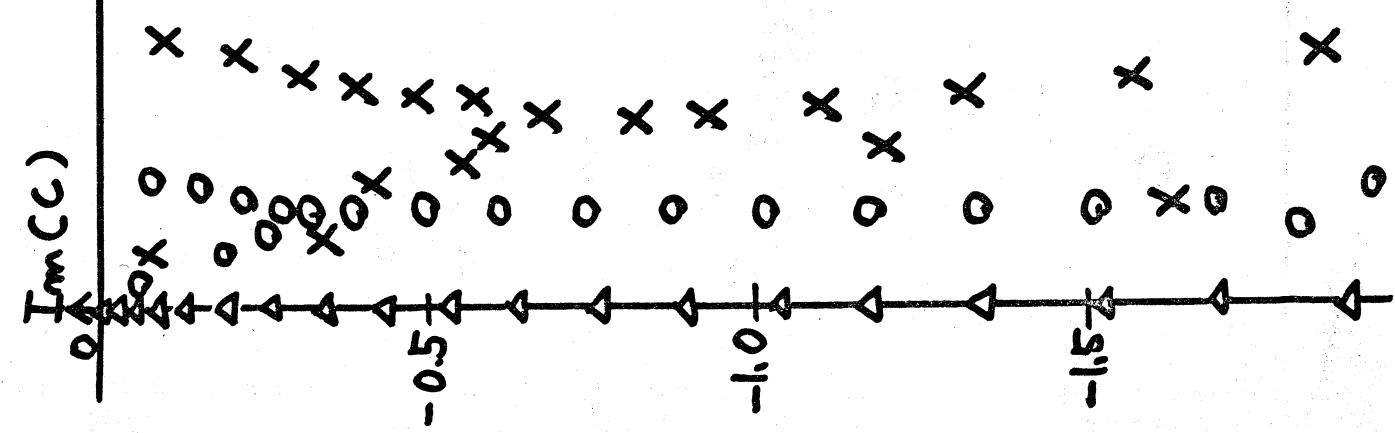
Fig-6



$R = 15000$
symmetry.

Δ — $k = 0.0$
 O — $k = 0.5$
 X — $k = 1.0$

Fig - 7



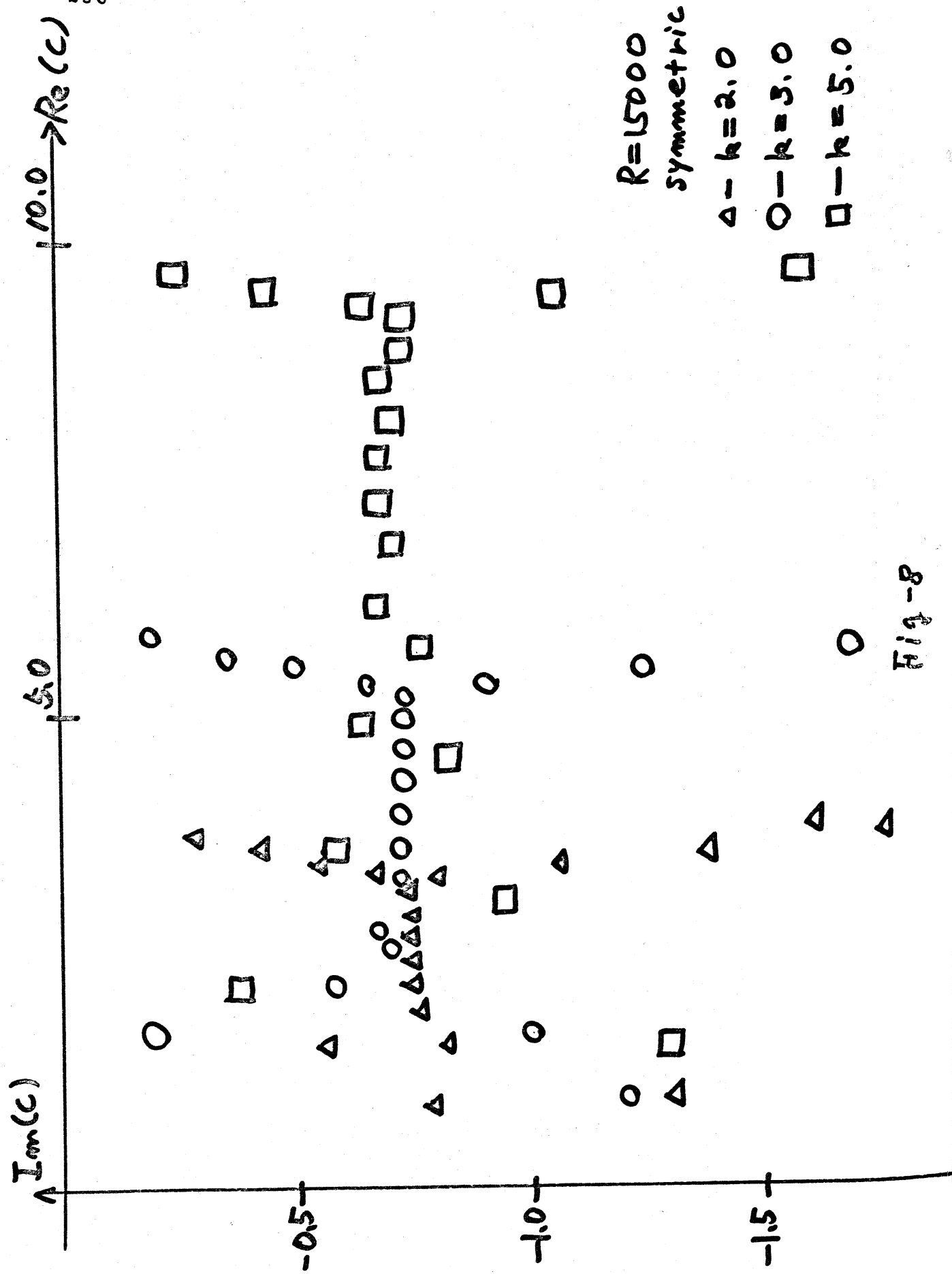


Fig-8